Parte II: Capítulo 5

5.3 Aprendizaje de Variedades

(Manifold learning)

6.1 Teoría de Funciones Topológicas - Prólogo

 $(Topological\ function\ theory\ -\ Prologue)$

Eduardo Velázquez

23 de noviembre de 2023



5.3 Aprendizaje de Variedades

Objetivo: Estudiar una variedad riemanniana M extrayendo información acerca de ella a partir de un conjunto finito de puntos $X = \{x_1, x_2, \dots, x_N\}$.

Una cubierta buena $\mathcal{U} = \{U_i\}$ de un espacio topológico es una cubierta abierta tal que cualquier intersección de un número finito de elementos de \mathcal{U} es vacía o contraible.

Lema 1

Lema de Nerve (Hatcher, Algebraic topology) Sea $\mathcal{U} = \{U_i\}$ una buena cubierta de M. Entonces la homología del correspondiente complejo de Cech de \mathcal{U} es igual al de la variedad:

$$H_*\left(\check{C}\left(\mathcal{U}\right)\right)=H_*\left(M\right).$$



Sea $X\subset M$ un conjunto finito de puntos. Consideremos el complejo de Rips $R_t(X)$ con conjunto de vértices X y símplices σ formados por los subconjuntos de X que tienen diámetro menor a t. Para X suficientemente denso (o t suficientemente grande) la colección $\mathcal{U}_t=\mathcal{U}_t(X)=\{B_{2^t/2}(x)\}_{x\in X}$ es una cubierta de M. En este caso consideramos también al complejo de Čech, $\check{C}_t(X)$, asociado a esta cubierta. También sabemos que los módulos de persistencia $V_a=\check{C}_{2^a}$ y $W_a=R_{2^a}$ están 1-entrelazados.



Teorema 5.3.2

Sea M una variedad riemanniana y $X\subset M$ una muestra finita de puntos. Supongamos que existe $\varepsilon_-<\varepsilon_+$ con $\varepsilon_+-\varepsilon_->4$, tal que para cualquier $t\in(\varepsilon_-,\varepsilon_+]$, la colección \mathcal{U}_t es una buena cubierta de M. Entonces para cualquier $k\geq 0$ la k-ésima homología de M puede recuperarse del correspondiente módulo de persistencia de Rips (W,π^W) asociado a X, es decir,

$$\operatorname{im}(\pi_{\varepsilon_-+1,\varepsilon_+-1}^W) \simeq H_k(M) \ \ \forall \ k \geq 0.$$

Demostración.

Sea (V,π) un módulo de persistencia e $I\subset\mathbb{R}$ un intervalo de la forma (a,b], donde $b\leq\infty$. Consideremos el módulo de persistencia truncado $(\bar{V},\bar{\pi})$, es decir, \bar{V}_t coincide con V_t para $t\in I$ y cero en otro caso, y \bar{pi} se trunca conforme a este criterio.



Teorema 5.3.2 (cont.)

Ejercicio 5.3.4

Sean (V,π) y (W,σ) dos módulos de persistencia δ -entrelazados, y sea I=(a,b] un intervalo fijo tal que $b\leq\infty$. Muestre que los módulos de persistencia truncados respecto I, \bar{V} y \bar{W} también están δ -entrelazados.

Sea $J=(\varepsilon_-,\varepsilon_+]$ y $k\geq 0$ un entero, escribiremos V y W para referirnos sólo a la homología de grado k. Como \mathcal{U}_t es una buena cubierta para cualquier $t\in J$, por el Lema de Nerve tenemos que

$$V_t = H_k(\check{C}(U_t)) = H_k(M),$$

así que la dimensión de V_t es constante en J. Entonces el número de intervalos en $\mathcal{B}(V)$ que contienen a J es exactamente $\dim H_k(M)$.



Sean \bar{V} y \bar{W} los módulos de persistencia truncados respecto J, por el ejercicio 5.3.4, \bar{V} y \bar{W} están 1-entrelazados; y por el Teorema de Isometry sus códigos de barras satisfacen

$$d_{\text{bot}}(\mathcal{B}(V),\mathcal{B}(W)) \leq 1$$
,

es decir, existe un 1-apareamiento $\mu: \mathcal{B}(\bar{V}) \to \mathcal{B}(\bar{W})$. Notemos que $\mathcal{B}(\bar{V})$ contiene exactamente dim $H_k(M)$ copias de J, cada una de ellas de longitud mayor a 4, por lo que está apareada por μ a una barra de $\mathcal{B}(\bar{W})$ que contiene a $J^1=(\varepsilon_-+1,\varepsilon_+-1]$. Por otra parte, cada barra $\mathcal{B}(\bar{W})$ que contiene a J^1 es aún de longitud mayor a 2, por lo que está apareada por μ a una barra de $\mathcal{B}(\bar{V})$ que contiene a $J^2=(\varepsilon_-+2,\varepsilon_+-2]$. Esta barra sólo puede ser de la forma J, por lo tanto, el número de intervalos en $\mathcal{B}(\bar{W})$ que contienen a J^1 es exactamente dim $H_k(M)$, es decir,

$$\dim \operatorname{im}(\pi_{\varepsilon_-+1,\varepsilon_+-1}^W) = \dim H_k(M).$$



Observaciones 5.3.5

▶ En la práctica, barras largas en el código de barras del complejo de Rips contienen más información confiable sobre la homología de M que las barras cortas, las cuales se pueden interpretar como ruido topológico [39]. Por lo que a mayor tamaño $(\varepsilon_-, \varepsilon_+]$, más confiable el cálculo de $H_*(M)$ propuesto en el Teorema 5.3.2.

[39] Robert Ghrist, Barcodes: the persistent topology of data, Bull. Amer. Math. Soc. 45 (2008)

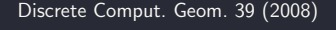


Observaciones 5.3.5 (cont.)

▶ En [73] consideran el caso en el que X es una colección de puntos $\frac{\varepsilon}{2}$ -densa muestreada de una subvariedad $M \subset \mathbb{R}^n$. Considere la unión de bolas euclidianas $U = \{\bigcup_{x \in X} B_t(x_i)\}$ centrado en los puntos de X. Resulta que al variar t en un cierto intervalo que depende de la geometría de M, la deformación del conjunto U se retrae a M, y en particular sus homologás son iguales. Además, si X consta de un número suficientemente grande de puntos independientes e idénticamente distribuidos muestreados con respecto a la medida de probabilidad uniforme en M, la homología de U es igual a la homología de M.

[73] Partha Niyogi, Stephen Smale, and Shmuel Weinberger,

Finding the homology of submanifolds with high confidence from random samples,





Observaciones 5.3.5 (cont.)

En [60] se obtiene el siguiente resultado: Para una variedad riemanniana cerrada M, existe $\varepsilon_0 > 0$ lo suficientemente pequeña, tal que para cualquier $0 < \varepsilon \leq \varepsilon_0$, existe $\delta_\varepsilon > 0$, para la que si Y es un espacio métrico que tiene una distancia de Gromov-Hausdorff menor que δ_ε a M, entonces su complejo Rips $R_\varepsilon(Y)$ es homotópicamente equivalente a M. En particular se sigue que: si $Y \subseteq M$ es finito y δ_ε -denso en M, entonces $R_\varepsilon(Y)$ y M tienen el mismo tipo de homotopía.

[60] Janko Latschev, Vietoris-Rips complexes of metric spaces near a closed Riemannian manifold, Arch. Math. (Basel) 77 (2001)



6. Teoría de Funciones Topológicas

6.1 Prólogo

Estudia características de funciones suaves en una variedad que son invariantes bajo la acción del grupo de difeomorfismo.

- ▶ Denotaremos como $||\cdot||_0$ a la norma uniforme, y como $||\cdot||_2$ a la norma L_2 .
- Para una función de Morse f, $\nu(f)$ denotará el número de barars en el código de barras de f.
- $ightharpoonup \zeta(M)$ es el número de rayos infinitos.
- $\nu(f,c)$ denotará al número de barras finitas de longitud mayor a c.
- ▶ $\ell(f) := \operatorname{length}(\mathcal{B}(f) \cap [\min f, \max f])$ mide la longitud total de todas las barras finitas de f y los segmentos de los rayos infinitos en el intervalo $[\min f, \max f]$.



Observaciones

- ightharpoonup c
 u(f,c) es decreciente en c y $c
 u(f,c) \le \ell(f)$.
- $ewline \ell$ es discontinua bajo perturbaciones en la norma uniforme: Se pueden generar un conjunto arbitrariamente grande de barras cortas mediante perturbaciones; sin embargo, para cualquier par de funciones de Morse f y h tenemos

$$\ell(f) - \ell(g) \le (2\nu(f) + \xi(M))||f - h||_0$$

$$\nu(f,c) \geq \nu(h,c+2||f-h||_0)$$
.

Estas desigualdades se siguen de que los códigos de barras de f y g admiten un δ -apareamiento con $\delta = ||f - h||_0$.



Observaciones

Sea f una función de Morse en \mathbb{S}^1 , todos los puntos críticos de f son mínimos locales o máximos locales, más aún, si hay N mínimos locales x_1, \dots, x_N también hay N máximos locales y_1, \dots, y_N que pueden ordenarse como

$$x_1, y_1, x_2, y_2, \cdots, c_N, y_N, x_1.$$

▶ El código de barras de f contiene N-1 barras finitas de grado 0 cuyos extremos del lado izquierdo son mínimos y cuyos extremos del lado derecho son máximos; así como dos barras infinitas de grado 1 y 0 comenzando en el máximo global y el mínimo global,respectivamente. De esto se sigue:

$$\ell(f) = \sum_{i=1}^{N} (f(y_i) - f(x_i)).$$



Observaciones (cont.)

Por otra parte,

$$\ell(f) = \frac{1}{2} \int_0^{2\pi} ||f'(t)|| \, dt.$$

En consecuencia,

$$\nu(f,c) \leq \pi ||f'||_0/c.$$



Teorema 6.1.1 (Teorema de Chebyshev)

Sea \mathcal{T}_n el conjunto de polinomios trigonométricos de grado menor o igual a n en \mathbb{S}^1 y sea $p \in \mathcal{T}_{n-1}$. Entonces p es la mejor aproximación uniforme en \mathcal{T}_{n-1} a una función f si y sólo si existen 2n puntos $0 \le x_1 \le \cdots \le x_{2n} \le 2\pi$ tales que las diferencias $f(x_i) - p(x_i)$ alcanzan el valor máximo $||f - p||_0$ con signos alternantes.

A la existencia de estos puntos extremos se le llama alternancia.



Proposición 6.1.2

Sean h, q dos funciones de Morse en una variadad cerrada M tal que para alguna c>0 q tiene estrictamente menos de $2\nu(h,c)+\zeta(M)$ puntos críticos. Entonces

$$||h-q||_0 \ge c/2.$$

Demostración.

Supongamos lo contrario, i.e. $||h-q||_0 < (c-\varepsilon)/2$ para alguna $\varepsilon > 0$ suficientemente grande. Sea N el número de puntos críticos de q. Exactamente $\zeta(M)$ de ellos contribuyen a los rayos infinitos del código de barras. Entonces el número de barras finitas en el código de barras de q no puede ser mayor a $(N-\zeta(M))/2$. Por tanto, $\nu(q,\varepsilon) < \nu(h,c)$; sin embargo por la ec. 24:

$$\nu(q,\varepsilon) \ge \nu(h,\varepsilon+2||h-q||_0) \ge \nu(h,c),$$

lo cual es una contradicción.



Demostración Teorema de Chebyshev (⇒)

Sea h=f-p y $c=||h||_0$. Por la propiedad de alternancia, el código de barras de h consiste en dos rayos infinitos y $\nu(h,2c-\varepsilon)=n-1$ para $\varepsilon>0$ suficientemente pequeña (Ejercicio).

Por otra parte, todo polinomio trigonométrico q no constante de grado menor o igual a n-1 tiene a lo más 2n-2 puntos críticos. Por la proposición 6.1.2,

$$||h-q||_0 \geq c$$
,

pero

$$h-q=f-(p+q)\Rightarrow ||f-r||_0\geq c$$

para cualquier polinomio trigonométrico $r \in \mathcal{T}_{n-1}$. Sin embargo como $||f - p||_0 = c$, p es la mejor aproximación polinomial de grado menor o igual a n - 1.

